

# ЭКСИМЕРНЫЙ ЛАЗЕР С ЯДЕРНОЙ НАКАЧКОЙ С ДЛИНОЙ ВОЛНЫ ГЕНЕРАЦИИ 308 НМ

© А.А. Мавлютов, А.И. Миськевич

Исследования по прямой ядерной накачке эксимерных лазеров были начаты сразу после открытия этого класса лазеров более чем 20 лет назад [1-4], однако лазерная генерация на переходах эксимерных молекул не получена. Все экспериментальные работы были связаны с лазером на В-Х-переходе молекулы XeF, поскольку расчеты кинетики эксимерных лазеров предсказывали достижимые в условиях ядерной накачки пороговые мощности накачки ( $< 10 \text{ кВт/см}^3$ ) только для данного лазера. В настоящей работе проводились исследования по ядерной накачке активных сред лазера на В-Х-переходе молекулы XeCl и получена генерация лазерного излучения в длиной волны 308 нм при возбуждении Ag-Xe-HCl-смеси с осколками деления урана.

Выбор XeCl системы был обусловлен результатами предварительных люминесцентных исследований активных сред лазеров на галогенидах инертных газов [5], в ходе которых наибольшая эффективность эксимерной люминесценции (до 15%) была получена в хлорсодержащих газовых смесях. Эффективность люминесценции с длиной волны 351 нм была в 3 раза меньше [5].

Результаты сравнения люминесцентных данных для XeCl-среды и активной среды  ${}^3\text{He}-\text{Ne}-\text{Ar}$ -лазера с ядерной накачкой [6], полученных с использованием единого экспериментального оборудования, позволяли утверждать [5], что порог генерации XeCl(В-Х)-лазера не должен превышать  $500 \text{ Вт/см}^3$ .

Генерационные опыты проводились на импульсном ядерном реакторе ЭБР-Л [7]. При длительности импульса тепловых нейтронов  $\sim 300 \text{ мкс}$  пиковая плотность потока достигала  $2 \cdot 10^{17} \text{ н/см}^2 \cdot \text{с}$ .

Корпус лазера был изготовлен из тонкостенной трубы  $\varnothing 32 \times 830 \text{ мм}$  из стали Х18Н9Т. Внутри лазера помещался алюминиевый вкладыш  $\varnothing 15 \text{ мм}$  и длиной 600 мм, на внутреннюю поверхность которого был нанесен слой окиси-закиси обогащенного урана-235 толщиной  $\sim 2 \text{ мг/см}^2$ . К корпусу были приварены два фланца, в которых размещались зеркала резонатора  $\varnothing 40 \times 8 \text{ мм}$ , юстировочные узлы, защитные

трубки и два вакуумных ввода для напуска газовой смеси и ее прокачки через систему очистки. Использовались многослойные диэлектрические сферические зеркала ( $R=10\text{ м}$ ) на кварцевой подложке с коэффициентом отражения на длине волны  $\lambda = 308\text{ нм}$  99.92 и 99.95%.

Лазер с помощью двух трубок  $\varnothing 8\text{ мм}$  и длиной 5 м каждая присоединялся к системе откачки, напуска, очистки и прокачки газа. В системе очистки инертных газов от молекулярных примесей типа  $\text{N}_2$ ,  $\text{O}_2$ ,  $\text{H}_2\text{O}$ ,  $\text{CO}_2$  и пр. применялись разработанные нами фильтры на основе разогретой до  $600^\circ\text{C}$  титановой губки и паров металлического натрия при температуре  $400^\circ\text{C}$ . Для приготовления многокомпонентных газовых смесей использовалась так называемая мерная трубка в сочетании с герметичным прокачным насосом. Подробнее вакуумная система описана в [8].

К каждому импульсу газовая смесь подготавливается в два этапа: сначала за 60–80 мин до нейтронного импульса накачки лазер заполнялся  $\text{Ar}-\text{He}$ -смесью заданного состава и давления. Эта смесь непрерывно прокачивалась через активный объем лазера и систему газовых фильтров и за 2 мин до нейтронного импульса накачки газовые фильтры отключались, а в смесь дистанционным образом вводилась третья хлорсодержащая компонента ( $\text{CCl}_4$  или  $\text{HCl}$ ). После этого продолжалась прокачка тройной смеси до импульса накачки.

Световое излучение лазера регистрировалось спектрометром ИСП-28 на фотопластинку.

Было опробовано четыре состава газового наполнения лазера:

- 1)  $\text{Ar} - 770\text{ Torr}$ ,  $\text{He} - 3\text{ Torr}$ ,  $\text{CCl} - 0.35\text{ Torr}$ ;
- 2)  $\text{Ar} - 1440\text{ Torr}$ ,  $\text{He} - 17\text{ Torr}$ ,  $\text{CCl}_4 - 0.67\text{ Torr}$ ;
- 3)  $\text{Ar} - 770\text{ Torr}$ ,  $\text{He} - 1.5\text{ Torr}$ ,  $\text{CCl}_4 - 0.1\text{ Torr}$ ;
- 4)  $\text{Ar} - 770\text{ Torr}$ ,  $\text{He} - 9\text{ Torr}$ ,  $\text{HCl} - 1.5\text{ Torr}$ .

На рис. 1, а приведен спектр излучения, характерный для смеси 4. Несмотря на очень низкий коэффициент пропускания зеркала на длине волны 308 нм ( $\tau = 0.0005$ ), интенсивность излучения В-Х-полосы сравнима с интенсивностью излучения в области 350 нм, где пропускание зеркала составляло 70–80%. На рис. 1, б приведен для сравнения спектр люминесценции смеси того же состава, возбуждаемый изотопным  $\alpha$ -источником  $^{238}\text{Pu}$  и зарегистрированный через использованное в лазере зеркало. Спектры отнормированы по интенсивности люминесценции в области 350 нм с учетом спектральной чувствительности фотопластинки и ФЭУ. Интенсивность полосы 308 нм в спектре рис. 1, а почти в 5

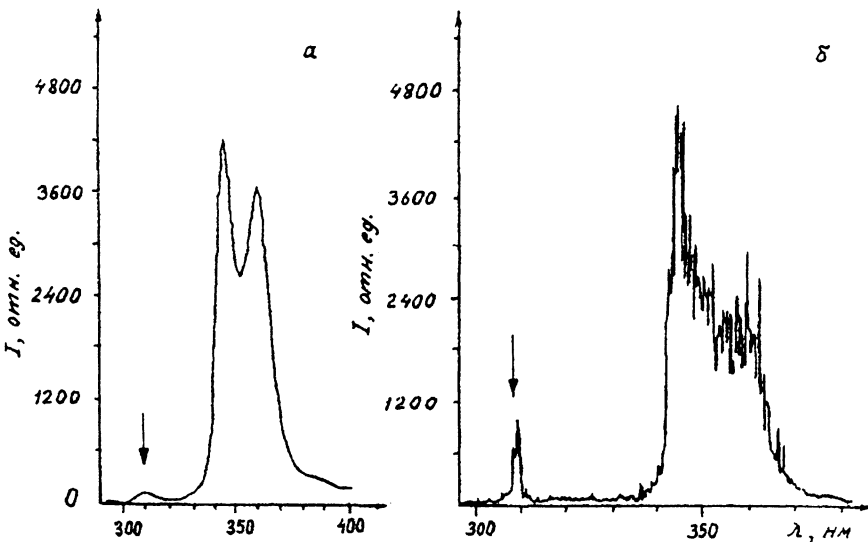
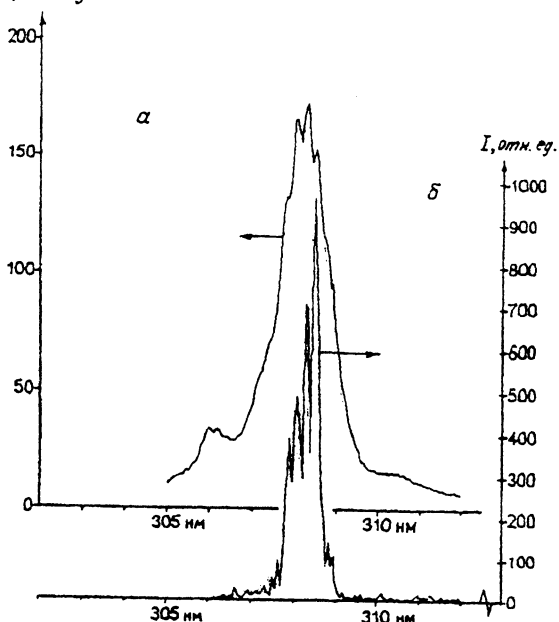


Рис. 1. Спектр люминесценции Ar-Xe-HCl-смеси, измеренный через выходное лазерное зеркало, при накачке  $\alpha$ -частицами изотопного источника  $^{238}\text{Pu}$  (а) и осколками деления  $^{235}\text{U}$  (б) (энерговклад  $\sim 1 \text{ кВт}/\text{см}^3$ ). Состав смеси: Ar — 770 Тор, Xe — 9 Тор, HCl — 1.5 Тор. Стрелкой указано положение полосы B-X-перехода молекулы XeCl.

раз выше, чем ее интенсивность на рис. 1, б. Для смесей 1 и 2 при накачке осколками деления урана относительная интенсивность полосы 308 нм превышала в 1,5–2 раза ее интенсивность в люминесцентных измерениях, а в спектре для смеси 3 с малым содержанием четыреххлористого углерода полоса 308 нм отсутствовала.

На рис. 2 приведена форма B-X-полосы молекулы XeCl ( $\lambda = 308 \text{ нм}$ ), измеренная при возбуждении Ar-Xe-HCl-смеси (смесь 4)  $\alpha$ -частицами (рис. 2, а) и при возбуждении осколками деления урана (энерговклад  $\sim 1 \text{ кВт}/\text{см}^3$ ) (рис. 2, б). Сужение полосы излучения и перестройка линий, соответствующих различным колебательным подуровням B-X-полосы молекулы XeCl, на рис. 2, б свидетельствуют о существовании генерационного режима при высоком уровне накачки. В генерационном спектре наибольшую интенсивность имеют две линии с длинами волн, соответствующими переходам B ( $\nu' = 0$ )–X ( $\nu'' = 2$ ) и B ( $\nu' = 0$ )–X ( $\nu'' = 3$ ). На этих линиях впервые была получена генерация в работе [9] при электронно-пучковой накачке. Однако в нашем случае из-за высокого коэффициента отражения зеркал генерация происходила и на менее интенсивных переходах, что отри-

*I, отн. ед.*



**Рис. 2.** Форма полосы 308 нм В-Х-перехода молекулы XeCl в Ar-Xe-HCl-смеси при накачке  $\alpha$ -частицами (а) (удельный энерговклад  $\sim 10^{-6}$  Вт/см $^3$ ) и при накачке осколками деления  $^{235}\text{U}$  (б) (удельный энерговклад  $\sim 1$  кВт/см $^3$ ). Состав смеси: Ar — 770 Тор, Xe — 9 Тор, HCl — 1.5 Тор.

дательно сказывалось на развитии генерации на ярких линиях.

Для смесей 1 и 2 генерационных спектрах наблюдалось сужение полосы 308 нм, аналогичное показанному на рис. 2, б, однако форма полосы существенно не изменилась.

Во всех спектрограммах, в которых зарегистрировалось излучение полосы 308 нм, высота почернения, соответствующая данной полосе, была в 1.3–1.5 раза меньше, чем у других длин волн. Это отличие высот почернения с учетом геометрии экспериментов возможно только в случае направленности излучения с длиной волны 308 нм.

Из-за ограниченного числа реакторных импульсов измерения пороговых энерговкладов и энергии излучения не проводились. По нашим оценкам пороговая плотность потока тепловых нейтронов не превышала  $5 \cdot 10^{16}$  н/см $^2 \cdot$  с. Энергия излучения лазера будет измерена в ближайшее время с использованием в резонаторе лазера выходного зеркала с большим коэффициентом пропускания.

В заключение авторы выражают благодарность Э.П. Магде, В.А. Крыжановскому, О.М. Керимову, Б.С. Саламахе, А.В. Бочкову, С.Л. Мухину за участие в обсуждении полученных результатов и помочь в проведении экспериментов.

Настоящая работа выполнена при содействии ГКРФ по высшему образованию по программе фундаментальных исследований в области ядерной техники и физики пучков ионизирующих излучений.

### Список литературы

- [1] *Nagalingam S.J.S., Boody F.P., Miley G.H.* // Proc. of Intern. Conf. on Lasers'79. 1979. P. 229–235.
- [2] *Hays G.H., McArthur D.A., Neal D.R., Rice J.K.* // Appl. Phys. Lett. 1986. V. 49. N 7. P. 363–365.
- [3] *McArthur D.A., Hays G.N., Alford W.J., Neal D.R., Bodette D.E., Rice J.K.* // Laser Interaction and Related Plasma Phenomenon / Ed. by Н. Нога, Г.Н. Мили. 1988. V.8. P. 75–86.
- [4] *Бочков А.В., Крыжановский В.А., Магда Э.П. и др.* // Тр. конф. ЛЯН-94 (Арзамас-16). 1995. Т. 1. С. 154–161.
- [5] *Маевлютов А.А., Миськевич А.И., Саламаха Б.С.* // Тр. конф. ЛЯН-94 (Арзамас-16). 1995. Т. 1. С. 162–171.
- [6] *Копай-Гора А.П., Миськевич А.И., Саламаха Б.С.* // Письма в ЖТФ. 1990. Т. 16. В. 11. С. 23–26.
- [7] *Magda E.P., Grebeyonkin K.F., Kryzhanovsky V.A.* // Proc. Int. Conf. "Lasers'90". San Diego, 1990. P. 827–834.
- [8] *Крыжановский В.А., Маевлютов А.А., Миськевич А.И.* // Письма в ЖТФ. 1995. Т. 21. В. 13. С. 90–94.
- [9] *Ewing J.J., Brau C.A.* // Appl. Phys. Lett. 1975. V. 27. N 6. P. 350–352.

Поступило в Редакцию  
1 декабря 1995 г.